

PERSPECTIVAS CLIMÁTICAS PARA 2.022 SEGÚN LA ASTROMETEOROLOGÍA

Un astrólogo español de finales del siglo XVIII, cuando la prognosis astronómica cayó en el olvido y en el descrédito, describiría el año por venir juzgando mediante los ingresos del Sol en los signos cardinales (estaciones), por los eclipses (tendencias generales) o incluso por las conjunciones de los planetas superiores, $\♂$, $\♃$ y $\♁$ (ver, por ejemplo la *Crisis Astrologica Physica, Mathematica y Chronologica para 1723* del Doctor Gonzalo Antonio Serrano, Biblioteca de Andalucía, Granada), cuando aún a las reuniones de estos planetas se les atribuía “encender luces y cometas en el cielo (auroras boreales, “fuegos celestes”) con arreglo a la Meteorología de Aristóteles, aún vigente en España por aquellos años. Pronto se ridiculizó al estagirita ante el avance del “método experimental” (inventado, dicho sea de paso, por los alquimistas chinos, griegos, árabes, etc.). ¿Son fenómenos independientes las grandes conjunciones planetarias y las auroras boreales? ¿No es condición del trabajo científico buscar conexiones y relaciones entre hechos aparentemente ajenos entre sí? Pues váyase a los anales, y que nos cuenten qué se vio desde el Norte de la Península Ibérica en la madrugada del 7 de abril de 2.000, cuando $\♂$, $\♃$ y $\♁$ estaban reunidos en el signo de Tauro: una aurora boreal, algo muy raro en nuestras latitudes, pero no excepcional.

Dos siglos y medio más tarde, las ciencias han adelantado que es una barbaridad. De los ingresos, poco hablaremos; de los eclipses señalaremos que no son sino una sicigia más potente (tal era el criterio de Morin de Villefranche), con un dominio temporal similar de cualquier otra sicigia (discrepamos, por tanto, con lo recogido por Ptolomeo en el *Tetrabiblos*, que, seguramente, ni él mismo comprendía). En cuanto a las conjunciones de los superiores, nos parecen tan válidas como a los antiguos, y hoy disponemos de registros meteorológicos suficientemente extensos para contrastar sus significados. Pero, en la Astrometeorología del siglo XXI, tenemos mucho más que extravagancias pop-New Age: concentraciones planetarias, *stelliums*, movimientos de las posiciones de los Nodos y de los Ápsides lunares, ciclo de Spangaro-Toaldo, estaciones de los planetas, cruces, movimiento de los planetas inferiores, aperturas de puertas, retrogradación simultánea, sicigias angulares, cuartos con la Luna angular, horarios de meteoros desastrosos, tres condiciones de Al Kindi para la lluvia, condición de “cerradas”, posiciones geográficas de las luminarias en las sicigias y de la Luna a su paso por el Ecuador, etc. ¡Nada más, ni nada menos!

Tal vez, demasiado complicado para los comerciantes de horóscopos, para los dogmáticos monocordes, para quienes confían su supervivencia a la

propaganda y al cliente dispuesto a alucinar en colorines. Demasiado esfuerzo. Sin duda, proporcional al de aquellos a quienes dirigimos nuestras previsiones: hombres del campo y del mar, en vía de extinción en Occidente por la falta de relevo generacional. Ya veremos cómo se van a alimentar en las ciudades cuando comiencen a escasear los vegetales y los productos ganaderos y pesqueros. Pero, no nos desviemos de nuestro camino.

¿Qué pueden esperar nuestros esforzados agricultores, los ganaderos extensivos, o los hombres de la mar en 2.022? Tenemos algunas perspectivas para ellos, y se las vamos a explicar.

Invierno 2022: potentes borrascas rondan el territorio ibérico

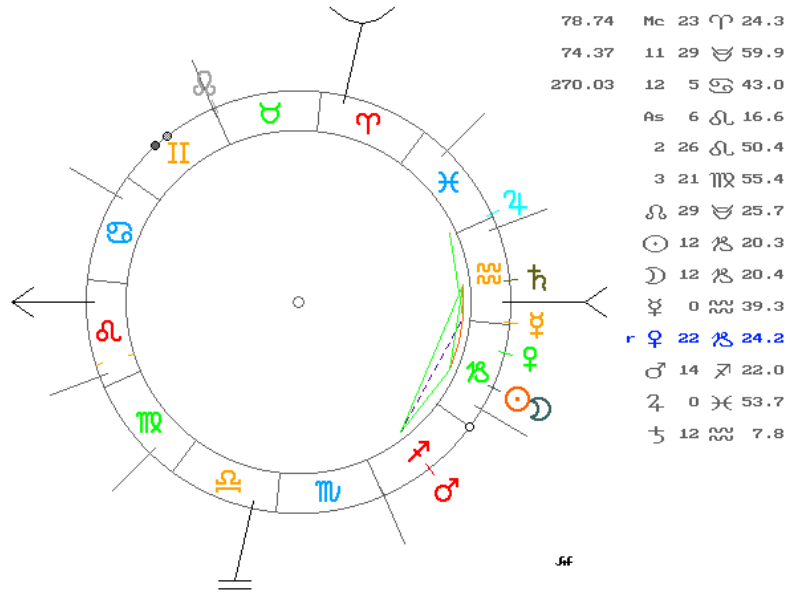
Para empezar, el invierno se presenta muy destemplado, con potentes borrascas y vientos impetuosos que, como mínimo, alcanzarían el Norte de la Península Ibérica, afectando en mucho mayor grado a las Islas Británicas y fachadas atlánticas europeas por encima de los Pirineos, penetrando incluso hacia el Centro de Europa y, por supuesto, a los países escandinavos. Si afectará por completo al territorio ibérico es algo que no podemos concretar. Pero habrá que estar muy atentos a los avisos de la AEMET.

Las lluvias pueden ser más generales en el entorno del 10 de enero, aunque, de todos modos, debemos contar con un enero lluvioso en Galicia, parte Portugal y cornisa cantábrica. Los fuertes ponientes darían un mes muy cálido en Levante, y, mayormente, tanto más seco cuanto más al Este. Y parecido sucedería en febrero, aunque las lluvias podrían reaparecer de modo más extenso en marzo.

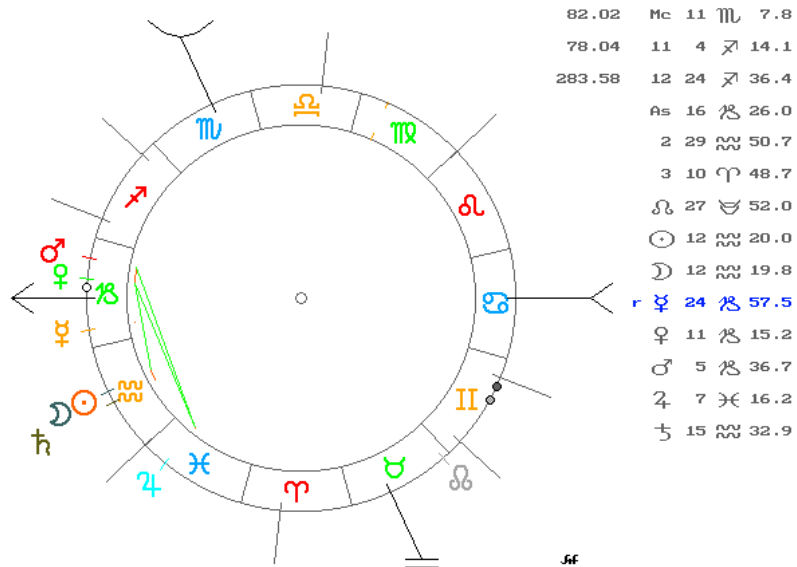
Aparte de los ponientes, no debemos descartar penetraciones de vientos árticos, que entonces generarían nevadas, sobre todo en la mitad Norte ibérica, dando un ambiente mucho más frío de modo general, menos acusado en el Sur.

Explicación

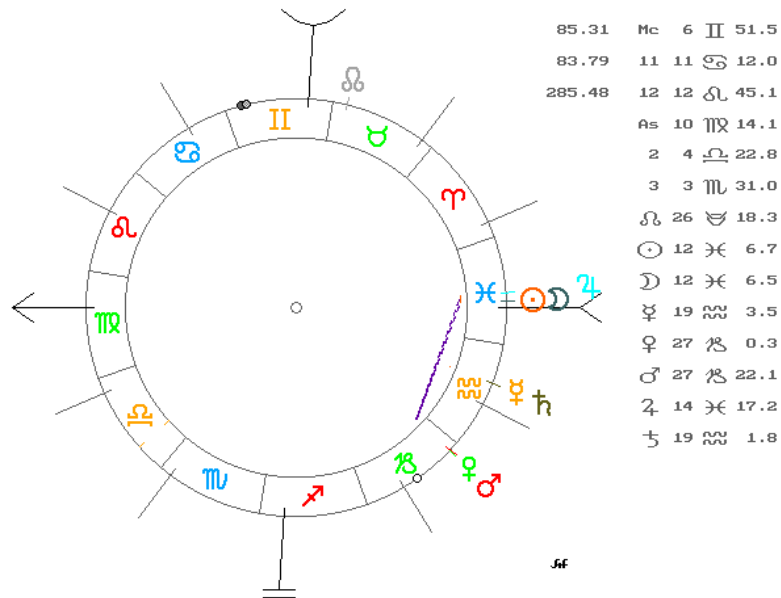
¿Qué criterios seguimos para contar con estas expectativas? El principal es la fuerte concentración planetaria que viviremos en las lunas nuevas del 2 de enero, 1 de febrero, 2 de marzo y 1 de abril. En la primera se apelotonan todos los visibles a ojo desnudo en 76°; en la segunda, en 62°; en la tercera, en 47° y en la cuarta en 72°. Veámoslo (todos los cálculos han sido realizados para Tortosa (Tarragona)):



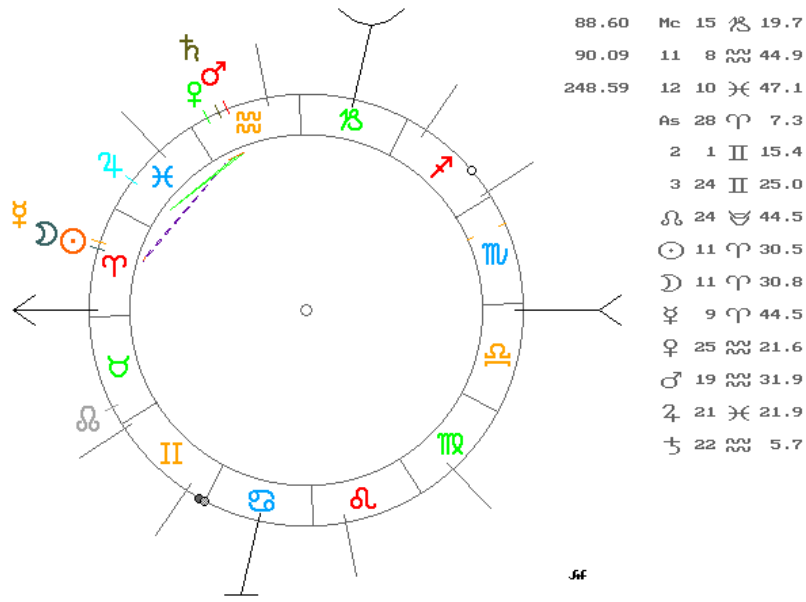
Luna nueva para el 2 de enero de 2.022



Luna nueva 1 febrero de 2.022



Luna nueva del 2 de marzo de 2.022



Luna nueva del 1 de abril de 2.022

Recordemos que, desequilibrios en el cielo = desequilibrios en la Tierra (abc de la Astrología). Este es un marcador universal, que se concretará en algunas zonas de nuestro planeta como trenes de borrascas muy activas y ríos atmosféricos, con vientos destructivos e inundaciones de zonas costeras e interiores, y habrá que determinar a qué regiones afectan mediante la Meteorognomía. El clima es en ciertos plazos como un tablero de ajedrez: en otras zonas dominarán los anticiclones, o los vientos llegarán agotados tras descargar previamente toda su humedad.

Más detalles astronómicos del invierno 2.022

♀ retrógrada en el solsticio de invierno señala aguas; se une al Sol en ♂ eclíptica el 9 de enero y coquetea con su amante celeste, Marte, para pararse el 29 de enero a pocos grados de él, “tentándolo”. Este es un nuevo marcador de aguas, especialmente sobre al territorio ibérico. En el creciente del 9 de enero la Luna está en MC y ♄ en DES, mirado por ♃, que no llega a contactar con él, puesto que se detiene el día 14. Además, durante estos días hay condición de “cerradas”: ♂♂, ☉♃, ♄♃ y ♄ en ♃, o sea, los cuatro superiores en signos consecutivos. No creemos que esto afecte a la Península Ibérica, pero podremos oír hablar de inundaciones graves en otros países (el marcador es universal y no hay debilidad esencial).

La luna llena del 17 de enero, altísima y muy brillante, es meridiana, con ♃ en MC, ambos inferiores retrógrados y ♃_R ♂ ☉ (aspecto tormentoso, según Kepler).

Espectáculo en las madrugadas de febrero y marzo 2.022

A partir de febrero hay que madrugar y mirar para Oriente antes de que amanezca: volveremos a ver juntos a los amantes del cielo, Marte y Venus, y más adelante habrá espectáculo planetario antes de romper el día, enseguida lo concretamos.

En la luna nueva del 1 de febrero la Luna abre las puertas del Sol para Saturno con regencia en el horizonte ibérico (ver figura). Podría venir entonces un buen temporal de invierno, pero con Marte yendo en pos de Venus y no al revés, mucho nos tememos un fiasco anticiclónico con ponientes, o sea, calor en el Oriente ibérico especialmente.

La luna llena del 16 de febrero es muy prometedora, con ♃ en ASC: pero tenemos en el mismo grado a ♂ ♂ ♀ en 16° ♃, y esto nos hace temer otro fiasco (la lluvia de Venus exige que sea ella la que alcance a él y no al revés). De todos modos, merecerá la pena levantarse temprano para ver a los dos astros flirteando en el cielo, como hicieron en el verano de 2021 una vez puesto el Sol, ¿lo recuerdan? Sí, entonces no se distinguían una del otro, fue una conjunción perfecta, y de los efectos asociados que hablen los belgas, nederlanders, alemanes, etc. Que afectasen esta vez las inundaciones a latitudes altas se explica por la subida estival de la circulación zonal. De haber ocurrido el fenómeno en invierno, las DANAs se habrían metido no solo en la Península Ibérica, sino en el Norte de África.

La luna nueva del 2 de marzo muestra condiciones de tormentas, y el día 6 ♀ adelanta por fin a ♂. A partir de aquí (podría darse un período de

latencia) las lluvias tendrían más probabilidad de llegar a la España seca, es decir, a las regiones de clima mediterráneo. El creciente del 10 de marzo, con ♃ en ASC, promete aguas.

Madruguen los aficionados a los espectáculos celestes a partir de mediados de marzo: si no hay nubes, podrán contemplar la reunión de ♂, ♀ y ♄ sobre el fondo de la constelación de Capricornio, y al esplendente Júpiter saliendo por el horizonte, sobre el fondo de la de Acuario: pocas veces se puede asistir a una visión como esta antes de que la claridad solar desvanezca sus luces.

El creciente del 25 de marzo, con ♃ en MC, vuelve a prometer aguas.

Ya hemos dicho que mientras ♂ persiga a ♀ no hay que esperar muchas lluvias en la España seca. Una de las cosas que más nos sorprendió al examinar los cielos de 2.022 sobre la Península Ibérica fue la presencia de 11 sicigias angulares (hay sobre 25 en un año), uno de los marcadores más seguros de movilidad atmosférica y, con ello, de lluvias. Pero las conjunciones planetarias de los superiores mandan, y el 5 de abril tenemos ♂ ☽ ♄ en 22° 26' ♋: primer indicio de primavera seca (en el ingreso 0° ♉ ♄ está en el meridiano, carecía a la vista). Por si esto fuera poco, el 29 de mayo tendremos ♂ ☽ ♄ en 3° 20' ♉, cuasi climatérica por su cercanía al punto vernal. Pésimo indicio de sequía consolidada, que, por supuesto, afectará más a unas regiones que a otras, y estará bien fijarse en los indicios meteorognómicos para discriminarlas.

Toca, por tanto, apretarse el cinturón a tiempo en la perspectiva de que, a partir de la primavera de 2.022, vienen vacas flacas allá donde suelen estarlo más, que las desgracias nunca vienen solas.

Detalles técnicos de 2022 desde el punto de vista astrometeorológico

Ápsides y Nodos lunares

♁ permanece todo el año en ♄, aumentando la amplitud los batidos lunares sobre el Ecuador. Ello implica que los eclipses son en mayo y en noviembre.

El perigeo lunar se adentra en ♄ durante el invierno, retrograda a ♄ durante la primavera; avanza de nuevo por ♄ durante el verano, para entrar en ♋ en agosto y volver a ♄ en octubre y retrogradarlo por completo, avanzando de nuevo por él en diciembre, sin llegar a recorrerlo totalmente.

Por tanto, ápsides solsticiales. Lo cual significa que la Luna permanecerá más tiempo en el Hemisferio Norte que en el Hemisferio Sur. En la teoría de Lamarck, esto provocaría un acarreo predominante de los vientos del Sur y temperaturas promedio más altas (aparte del calentamiento global galopante).

La posición del Nodo Norte, de momento, no nos parece significativa.

Ciclo de Spangaro-Toaldo

Caben rebrotes de las condiciones de 1985, 1986 y 1987.

Conjunciones y aspectos de los soberanos

5 abril ♂ ♃ ♃ 22° 26' ♁

24 mayo ♂ ♃; 29 mayo ♂ ♃ ♃ 3° 20' ♃

7 agosto ♂ ♃ ♃

Stelliums

Desde mediados de marzo ♃, ♂, ♃ en ♁, orientales, bien visibles al amanecer hasta el 5 de abril, en que ♃♃. Pero la cercanía continúa y se agrupan ♃, ♃, ♂ y ♃ en 30° (♃ – ♁). Bello espectáculo celeste al amanecer.

Finales de abril, ♃ ♃ ♃ luceros del cielo.

Concentraciones planetarias

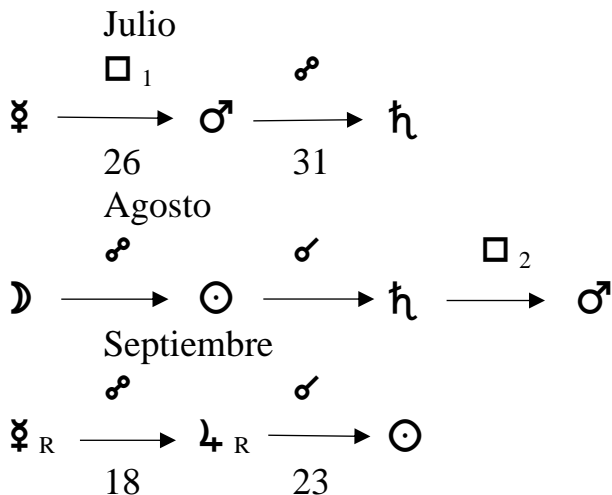
L. N. 2 enero todos en 76°

L. N. 1 febrero todos en 62°.

L. N. 2 marzo todos en 47°.

L. N. 1 abril todos en 52°.

Cesiones de fuerza de los inferiores a los superiores



Sicigias / pasos por el Ecuador Browne

18 marzo (1 h adelanto)
1 abril (1 h adelanto)
16 abril (1 h adelanto, 18:56)
30 abril (1 h retraso)
6 julio D_{Eq}
13 julio (1 h adelanto, 18:39)
19 julio D_{Eq} 1 h retraso.
15 agosto D_{Eq} 1,5 h adelanto
27 agosto

Fases de ☿

	$\text{☉}-\text{☿}$
Inicio retrogradación	23 enero ☿_{R} ♂ ☉
14 enero	2 abril ☿ ♂ ☉
10 mayo	21 mayo ☿_{R} ♂ ☉
10 septiembre	16 julio ☿ ♂ ☉
29 diciembre	23 septiembre ☿_{R} ♂ ☉
	8 noviembre ☿ ♂ ☉ (ocultación)

Movimiento directo

4 febrero
3 junio
2 octubre

Estaciones de los planetas

14 enero ♂ $23^{\circ} 30' \text{ S}$
25-30 enero ♂ $\delta_{\text{máx}} 23^{\circ} 51' \text{ S}$
29 enero ♀_{D}
29 marzo ☿_{Eq}
5 abril $\text{☿}_{\text{E}} 23^{\circ} 20' \text{ N}$; ♀_{Eq}
25 mayo ♃_{Eq}
30 mayo ♂_{Eq}
4 junio ♁_{R}
6 julio $\text{☿} 23^{\circ} 30' \text{ N}$
10 julio ☿ $\delta_{\text{máx.}} 23^{\circ} 45' \text{ N}$
22, 23 julio ♀ $\delta_{\text{máx.}} 22^{\circ} 51' \text{ N}$
28 julio ♃_{R}
22 agosto ☿_{Eq}
26 septiembre $\text{♃}_{\text{R}} \text{Eq}$
27 septiembre $\text{☿}_{\text{R}} \text{Eq}$
1 octubre ♀_{Eq}

14 octubre ☿ Eq
 23 octubre ♃_D; ♂ 23° 30' N
 30 octubre ♂_R
 23 noviembre ♃_D
 24 noviembre ☿ 23° 30' S
 2 diciembre ♀ 23° 30' S
 5-8 diciembre ♂_R δ máx. 25° 00' N
 8 diciembre ☿ δ máx. 25° 44' S
 12-14 diciembre ♀ δ máx. 24° 13' S

Inferiores

Van junto al Sol desde comienzos de noviembre, combustos y adelantados a mediados de noviembre, bajo los rayos la tercera década del mes y se hacen visibles al atardecer a comienzos de diciembre; siguen juntos todo el mes a 6°-5° de distancia (*boisterous condition*); ☿ pierde velocidad, ya que se estaciona el 29-D, día en que se juntan eclípticamente. Por tanto, condición de “boisterous” según John Goad (jaraneros, borrascosos).

Ingresos

0° ♃ ♃ ♂ MC
 0° ♃ ♃ ☐ meridiano
 0° ♃ ♀ ♂ MC; ♃ ♂ MC
 0° ♃ ♃ ☐ meridiano

Aperturas de puertas

♀ - ♂

9 enero ♀_R ♂ ☉; 29 enero ♀_D a 11° por delante de ♂. A partir de ahí ♂ se acerca a ♀, ambos en ♃.

15 febrero: ♂ ♂ ♀; el 16 L. LL. con ♃ en ASC

6 marzo: ♀ ♂ ♂ en 0° ♃. Ambos siguen juntos, orientales, bien visibles al amanecer, en el mismo grado desde el 16-F hasta el equinoccio (2° de separación eclíptica). No obstante, se verán distanciados en el cielo (4° de separación en declinación), Marte con un brillo mucho más modesto que el de Venus.

6 de septiembre ♀ 82° ♂ (cuadratura corta).

16 septiembre ♀ ☐₁ ♂ con regencia en todos los horizontes ibéricos en la sicigia, + 3 planetas retrógrados. ♀ a 11° de ☉, con ASC ♃ (Agua); ♃ en FC

22 octubre: ♀ ♂ ☉ ♃

1 diciembre ♀ ♂ ♂ + *boisterous condition*, ♃ da la fuerza el 1-D.

☉ ♄

4 febrero ☉ ♄ ♄; ♃ abre las puertas el 1-F, regencia en los ángulos.

♂ ♄ ♀ formante cerca de ASC

15 mayo ☉ ☐₁ ♄ s. r. h.

14 agosto ☉ ♄ ♄; ♃ da la fuerza el 12, con regencia en el horizonte (pedrisco)

♃ $\xrightarrow[12]{♄}$ ☉ $\xrightarrow[12]{♄}$ ♄ $\xrightarrow[12]{☐_2}$ ♂

11 noviembre ☉ ☐ ♄, ♃ da la fuerza c. r. h. día 8.

Condición de cerradas

Al paso de ☉ por ♃ (22 diciembre -19 enero)

♂ ♃; ♄ ♃; ☉ ♃; ♄ ≈

y del 10 al 20 de mayo con ☉♄

Planetas retrógrados

14 enero – 29 enero ♃, ♀ simultáneamente

♄, ♄ retrógrados desde el 28 de julio → se añade ♃ del 10-S al 2-O (3 retrógrados) → 23-O ♄_D (1R, ♄_R).

♃♄

21 marzo ♃ ♄ en ♃ (recepción), s. r. h.

Dos A. P. en la L. LL. equinoccial (18-M), ♃ ♄; ♀ ♄ ♂ (atacires).

9 julio ♃ ☐₁ ♄

3 septiembre ♃ ♄ ♄ con regencia en el Occidente ibérico.

17 septiembre ♃_R ♄ ♄; ♄ da la fuerza en el menguante del 17, c. r. h.

+ ♃ ASC

12 octubre ♃ ♄ ♄

6 diciembre ♃ ☐₂ ♄ s. r. h.

Sicigias angulares

17 enero L. LL. ; ♃ MC

16 febrero L. LL. ; ♃ ASC + ♂ ♄ ♀ ♃: ¿condición de tormentas?

2 marzo L. N. DES, ♄ ♄ (♃). ¿Condición de tormentas? + ♃ ♄ ♄

16 abril L. LL. ♃ ASC

16 mayo L. LL. ♃ DES

30 mayo L. N. con ♂ ♄ ♄ orientales. Condición de tormentas.

14 junio L. LL. ♃ DES. Condición de tormentas.

13 julio L. LL. ☽ ASC; día 16 ☿ ♀ ☉

25 octubre L. N. MC + ☿ ☐ ♃

8 noviembre L. LL., ☽ DES eclipse

23 noviembre L. N. FC + *boisterous*

Tres condiciones de Al Kindi para la lluvia

16 febrero (L. LL. ☽ ASC)

Horarios de “meteoros desastrosos”

5-9 C. C. 11:08

27-8 L. N. 8:18

Sicigias meridianas consecutivas

25-O L. N. 10:50 (eclipse parcial)

8-N L. LL. 11:03

23-N L. N. 22:58

(57-70 minutos de retraso)

José Luis Pascual Blázquez
cabanuel@gmail.com

28 agosto 2021